

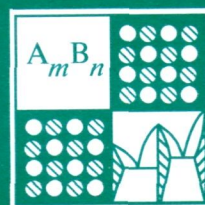
Том 54, Номер 7

ISSN 0002-337X

Июль 2018



# НЕОРГАНИЧЕСКИЕ МАТЕРИАЛЫ



<http://www.sciencejournals.ru>

# СОДЕРЖАНИЕ

Том 54, номер 7, 2018

Разложение синтетического сульфоарсенида меди <i>А. В. Ниценко, С. А. Требухов, А. К. Касымжанова, Н. М. Бурабаева</i>	655
Диэлектрические свойства и проводимость кристаллов $(1-x)\text{TlGaSe}_2 \cdot x\text{Tm}$ <i>С. Н. Мустафаева, С. М. Асадов, Э. М. Керимова</i>	662
Получение терморасширенного графита, модифицированного ферритом магния <i>А. В. Иванов, Ю. А. Павлова, Н. В. Максимова, К. В. Похолок, А. П. Малахо, В. В. Авдеев</i>	668
Свойства нитридов, полученных аммонолизом магниетермических порошков ниобия <i>В. М. Орлов, Р. Н. Осауленко</i>	675
Изменение микроструктуры поверхности мембранного сплава $\text{V}_{85}\text{Ni}_{15}$ в зависимости от способов обработки <i>И. С. Сипатов, Н. И. Сидоров, С. А. Петрова, А. Б. Шубин, Э. А. Пастухов,</i> <i>А. В. Фетисов, А. А. Есин, А. А. Востряков</i>	681
Спектральные характеристики и температурное тушение люминесценции в кристаллах $\text{Rb}_{0.993}\text{Pr}_{0.007}\text{Pb}_2\text{Vg}_5$ и $\text{Rb}_{0.993}\text{Pr}_{0.007}\text{Pb}_2\text{Cl}_{2.5}\text{Vg}_{2.5}$ <i>А. Н. Грузинцев</i>	688
Пленки $\text{Cu}_2\text{O}$ и $\text{CuO}$ , полученные химическим и анодным окислением на поверхности медной фольги <i>Д. С. Зимбовский, Б. Р. Чурагулов</i>	694
Обменные спиновые волны в неоднородных пленках феррошпинелей <i>Ю. В. Великанова, М. Р. Виноградова, Л. А. Митлина, Н. В. Мелешко</i>	703
Синтез и свойства фаз в системах $\text{PbO} - \text{CuO} (\text{NiO}) - \text{Nb}_2\text{O}_5$ <i>А. Л. Подкорытов, А. Л. Тимофеев, И. А. Шевякова, В. О. Мальцева, С. А. Штин,</i> <i>Н. Н. Заболотских</i>	708
Каталитическая активность материалов на основе $\text{Li}_{1+x}\text{Hf}_{2-x}\text{In}_x(\text{PO}_4)_3$ со структурой NASICON в реакциях конверсии этанола <i>С. А. Новикова, А. Б. Ильин, Н. А. Жилыева, А. Б. Ярославцев</i>	713
Область твердого раствора $(\text{Y}_{1-x}\text{Bi}_x)_3(\text{Fe}_{1-y}\text{Ga}_y)_5\text{O}_{12}$ на диаграмме Йенке <i>М. Н. Смирнова, Г. Д. Нипан, Г. Е. Никифорова</i>	721
Устойчивость оксигидрофосфатов титана(IV) в водных средах <i>Р. И. Корнейков, С. В. Аксенова, В. И. Иваненко, Э. П. Локшин</i>	727
Резонансное возбуждение фотолюминесценции в водном растворе уранилхлорида <i>В. С. Горелик, С. О. Нечипуренко, А. А. Лобойко, Ю. П. Войнов</i>	733
Термодинамические свойства $\text{FeNb}_2\text{O}_6$ и $\text{FeTa}_2\text{O}_6$ <i>А. Н. Мансурова, В. М. Чумарев, Р. И. Гуляева</i>	739

Характеристики стеклования и термодинамические функции стекол (1 - x)(0.75TeO <sub>2</sub> -0.25WO <sub>3</sub> ) + xLa <sub>2</sub> O <sub>3</sub> <i>А. М. Кутьин, А. Д. Плехович, К. В. Балужева, В. В. Дорофеев</i>	745
Исследование распределения ионов Eu <sup>2+</sup> и Gd <sup>3+</sup> в фторгафнатном стекле методом ЭПР <i>М. Н. Бреховских, С. П. Солодовников, Л. В. Моисеева, И.А. Жидкова, В.А. Федоров</i>	753
Природа несингулярности внутренних поверхностей раздела в керамике гидроксиапатита <i>В. М. Иевлев, А. В. Костюченко</i>	757
Керамика на основе порошковых смесей, содержащих гидрофосфаты кальция и соли натрия (Na <sub>2</sub> CO <sub>3</sub> , Na <sub>4</sub> P <sub>2</sub> O <sub>7</sub> , NaPO <sub>3</sub> ) <i>Т. В. Сафронова, В. И. Путляев, Я. Ю. Филиппов, Т. Б. Шаталова, Д. О. Набережный, А. Ф. Насриддинов, Д. С. Ларионов</i>	766
Микроструктура и электрофизические свойства высокотемпературной пьезокерамики Bi <sub>3</sub> TiNbO <sub>9</sub> <i>А. И. Спицин, А. А. Буш, К. Е. Каменцев, А. Г. Сегалла, А. М. Храмов, Н. А. Чистякова</i>	778
Особенности фазообразования и фазовые переходы в нестехиометрических керамиках титаната натрия-висмута <i>Е. Д. Политова, А. В. Мосунов, Д. А. Стребков, Н. В. Голубко, Г. М. Калева, Б. А. Логинов, А. Б. Логинов, С. Ю. Стефанович</i>	785
Новые стехиографические методы определения пространственной неоднородности состава и структуры твердых веществ и материалов <i>А. А. Почтарь, В. В. Малахов</i>	790

---

---